

## Исследование модели, описываемой автономной системой обыкновенных дифференциальных уравнений

Рассмотрим следующую систему обыкновенных дифференциальных уравнений:

$$\begin{aligned}\frac{d}{dt}x &= yz, \\ \frac{d}{dt}y &= x - y, \\ \frac{d}{dt}z &= 1 - xy.\end{aligned}\tag{1}$$

Стационарные точки системы (1) находятся из следующей системы алгебраических уравнений:

$$\begin{aligned}yz &= 0, \\ x - y &= 0, \\ 1 - xy &= 0.\end{aligned}\tag{2}$$

Система уравнений (2) имеет 2 решения:

$$M_1(1, 1, 0),\tag{3}$$

$$M_2(-1, -1, 0).\tag{4}$$

Изучим поведение траекторий решения системы уравнений (1) в окрестности особых точек (3), (4). Матрицы Якоби в этих точках имеют вид:

$$J_1 = \begin{bmatrix} 0 & 0 & 1 \\ 0 & -1 & 0 \\ -1 & -1 & 0 \end{bmatrix},\tag{5}$$

$$J_2 = \begin{bmatrix} 0 & 0 & -1 \\ 0 & -1 & 0 \\ 1 & 1 & 0 \end{bmatrix}.\tag{6}$$

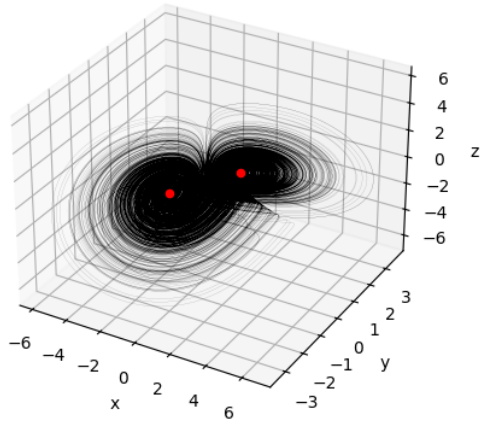
Собственные значения матриц (5) и (6) определяются из уравнения:

$$\lambda^3 + \lambda^2 + \lambda + 2 = 0,\tag{7}$$

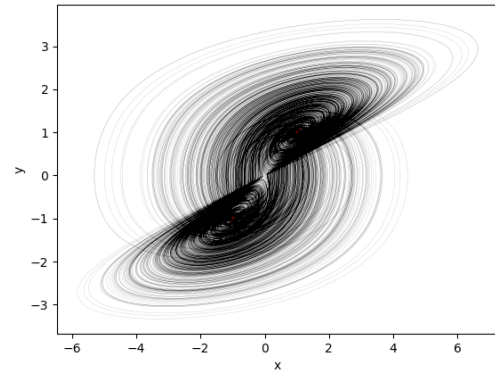
они равны:

$$\lambda_1 \approx -1.3532, \quad \lambda_{2,3} \approx 0.17660 \pm 1.20282i.\tag{8}$$

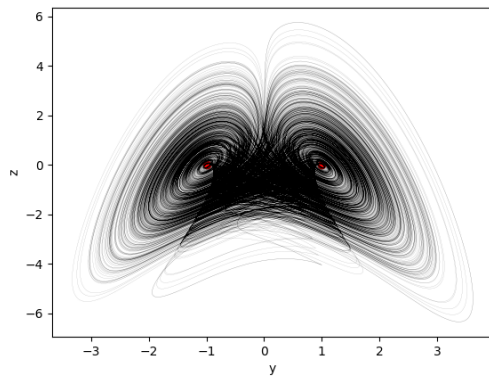
Можно заметить, что  $|\lambda_1| > 1$ , это говорит о том, что обе точки не устойчивы.



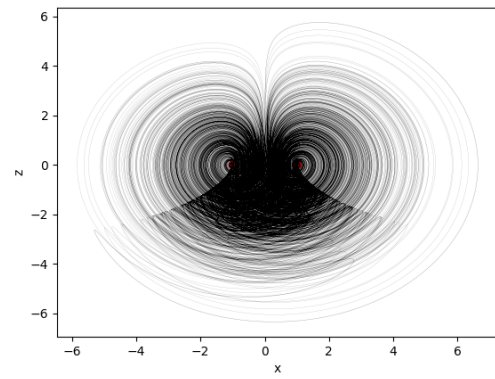
(a)  $x - y - z$



(b)  $x - y$

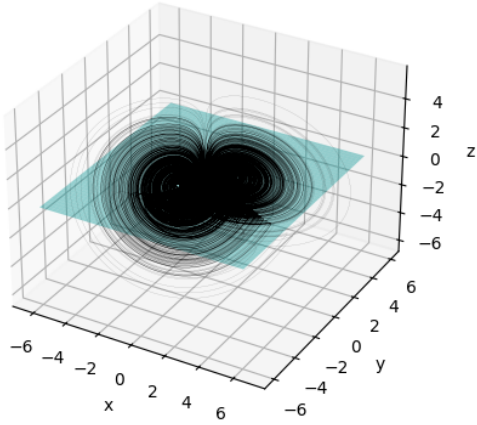


(c)  $y - z$

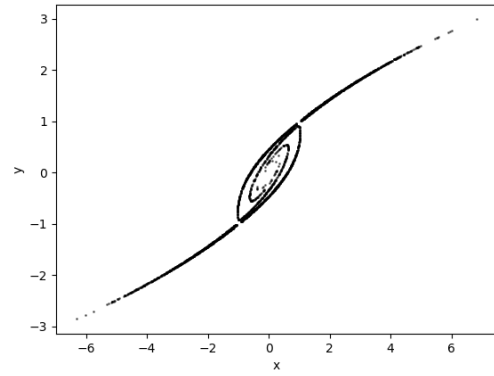


(d)  $x - z$

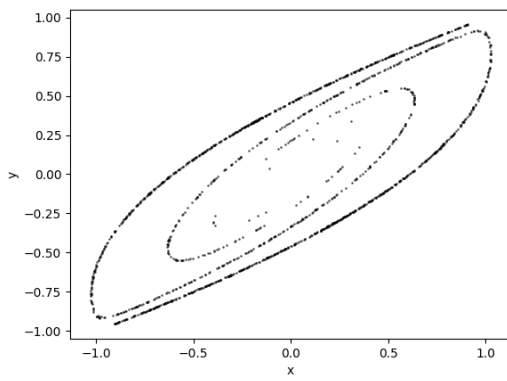
Рис. 1: Фазовые портреты аттрактора рассматриваемой системы (1) в проекциях на различные оси. Красным обозначены стационарные точки



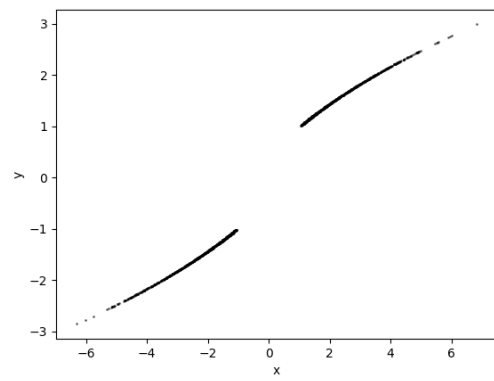
(a) Аттрактор и плоскость сечения



(b) Двустороннее сечение

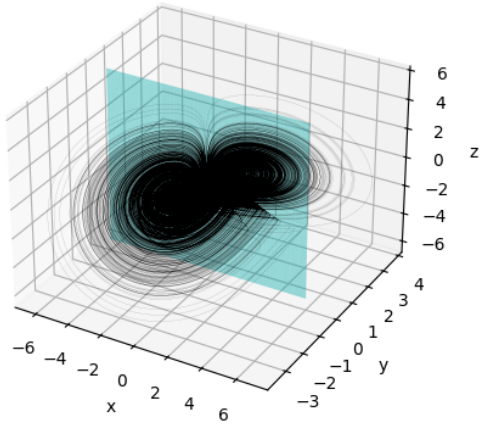


(c) Одностороннее сечение в направлении убывания  $z$

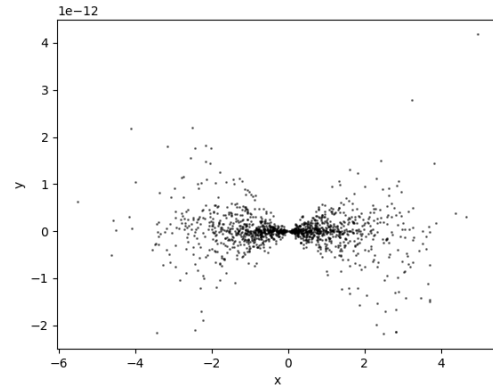


(d) Одностороннее сечение в направлении возрастания  $z$

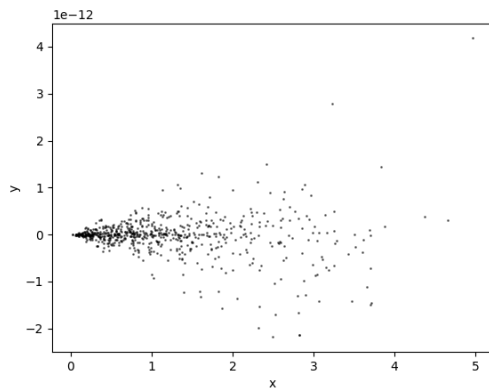
Рис. 2: Примеры сечений Пуанкаре аттрактора системы (1) плоскостью  $z = 0$



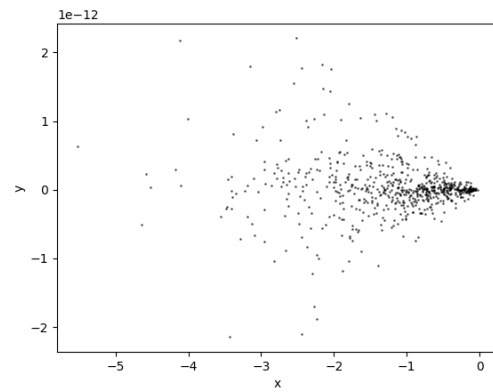
(a) Аттрактор и плоскость сечения



(b) Двустороннее сечение



(c) Одностороннее сечение в направлении убывания  $y$



(d) Одностороннее сечение в направлении возрастания  $y$

Рис. 3: Примеры сечений Пуанкаре аттрактора системы (1) плоскостью  $y = 0$

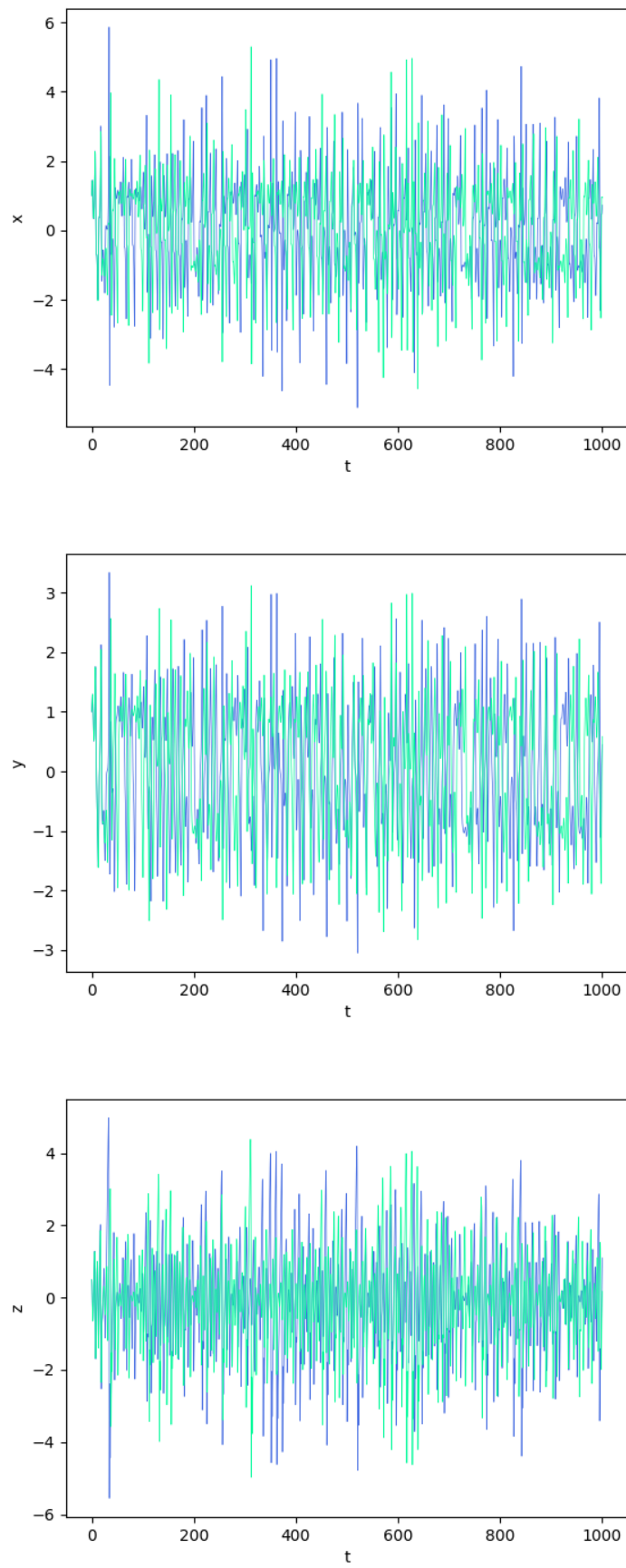


Рис. 4: Расхождение двух близлежащих траекторий системы (1) для начальных условий  $(1, 1, 0.5)$  и  $(1.01, 1.01, 0.5)$

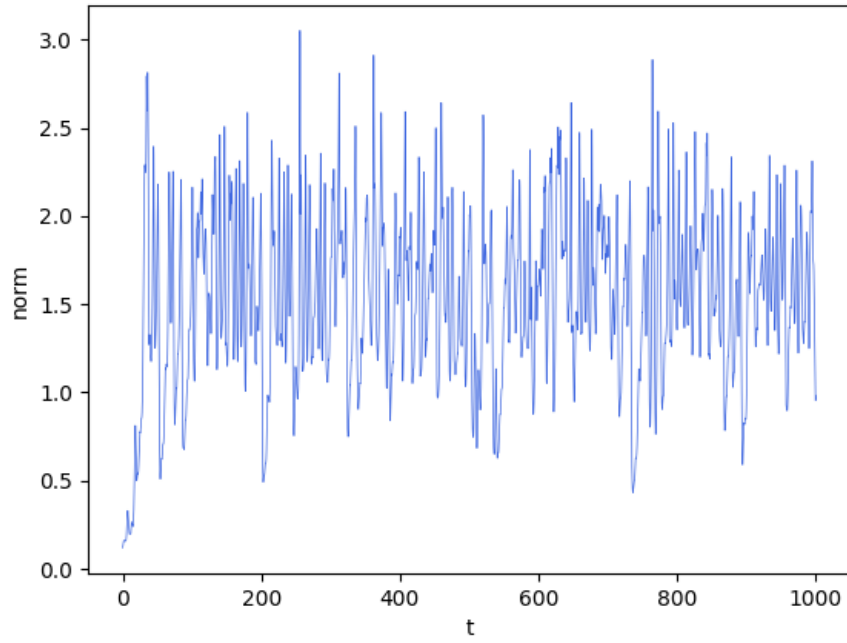


Рис. 5: Расстояние между двумя траекториями системы (1) с близкими начальными условиями с графиков выше в евклидовой норме в зависимости от времени

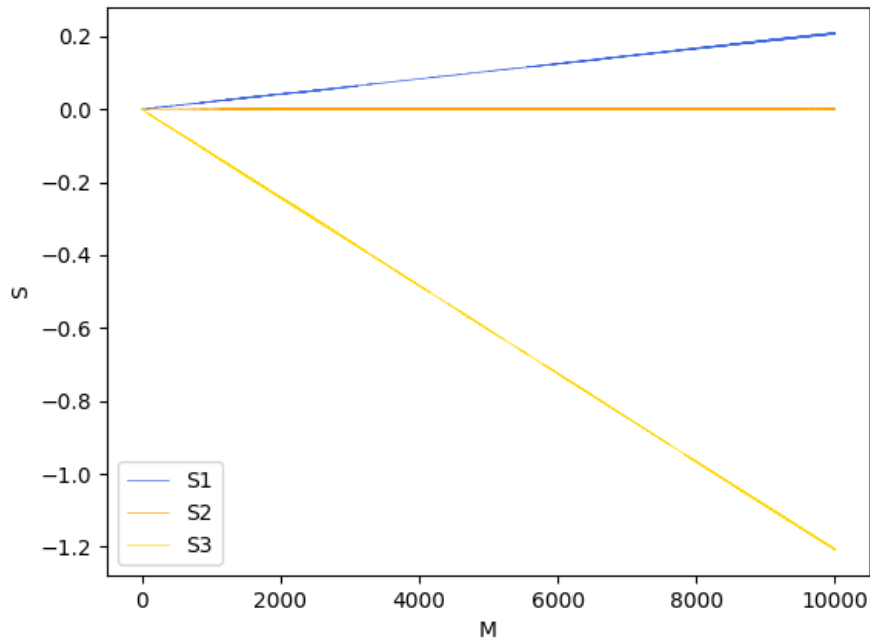


Рис. 6: Зависимость сумм в формулах для вычисления показателей Ляпунова от количества шагов  $M$  ( $\lambda_1 = 0.21016129275920375$ ,  $\lambda_2 = 0.00032336916363194453$ ,  $\lambda_3 = -1.2084127902749147$ )